

W-N

Critère de confinement et bavure de Wilson

système: paire $q\bar{q}$ $| q(\underline{t}, \underline{o}) \bar{q}(\underline{t}, \vec{R}) \rangle$
 x' ∞

E: énergie du système

* absence de confinement: $E(R) \rightarrow \infty$ $m = \text{masse du quark}$
 $R \rightarrow \infty$

* confinement: $E(R) \rightarrow \infty$
 $R \rightarrow \infty$

$$| q(t, \vec{o}) \bar{q}(t, \vec{R}) \rangle = \sum_c f(c) \underbrace{\langle (t, \vec{o}), (t, \vec{R}); c |}_{x'} \underbrace{| q(t, \vec{R}) \rangle_0}_{\infty}$$

$$U(n', n; c) = P \exp \int_{x'}^{x'} dx^\mu A_\mu(x)$$

$$P(x'; x; c)$$

$\equiv \bar{q}(x') U(n', n; c) q(x)$ est un opérateur invariant de jauge:

$$q(x) \rightarrow D[g(n)] q(x)$$

$$U(n', n; c) \rightarrow D[g(n')] U(n', n; c) D[g(n)]^{-1}$$

$$\bar{q}(x') \rightarrow \bar{q}(n') D[g(n')]^{-1}$$

$$\begin{matrix} x' & x \\ \curvearrowleft & \curvearrowright \\ = (t, \vec{o}) & = (t, \vec{R}) \end{matrix}$$

Considérons le recouvrement entre l'état $q\bar{q}$ à l'instant $t=0$ et l'état $q\bar{q}$ à l'instant $t=T$:

$$\begin{aligned} S_R(T, R) &= \langle 0 | [\bar{q}(0, \vec{o}) U([0, \vec{o}], [0, \vec{R}]; c) q(0, \vec{R})]^\dagger \bar{q}(T, \vec{o}) U([T, \vec{o}], [T, \vec{R}]; c) q(T, \vec{R}) | 0 \rangle \\ &= \langle 0 | P((0, \vec{o}), (0, \vec{R}); c)^\dagger P((T, \vec{o}), (T, \vec{R}); c) | 0 \rangle \end{aligned}$$

Il même idée que celle qui permet de calculer une fonction de corrélation en théorie des champs en formulation d'intégrale de chemin ou en formulation canonique (en passant dans ce cas à la représentation d'interaction):

on écrit $1 = \sum |n\rangle \langle n|$ où $|n\rangle$ est état propre de N d'énergie E_n

Comme $G(t, \vec{n}) = e^{iHt} \delta(q, \vec{n}) e^{-iHt}$ (car $G = P$) on a donc

$$\begin{aligned} S_R(T, R) &= \langle 0 | P((0, \vec{o}), (0, \vec{R}); c)^\dagger P((0, \vec{o}), (0, \vec{R}); c) | 0 \rangle e^{+iE_n T} e^{-iHt} \langle n | e^{-iHt} | n \rangle \\ &= e^{-iE_n t} \langle n | \end{aligned}$$

en passant à l'euklidien $t \rightarrow t_E = it$, i.e. $t = -it_E$ on a donc

$\mathcal{R}(T, R) \sim e^{-E(R)T}$ où $E(R)$ est la plus petite valeur propre E_n , correspondant à l'énergie potentielle du système $q\bar{q}$ séparé d'une distance R .

2) on étudie maintenant en détail la structure de $\mathcal{R}(T, R)$:

$$\mathcal{R}(T, R) = \langle 0 | \bar{q}^i(0, \vec{r}) U[(0, \vec{r}), (\tau, \vec{r}); C]_{ij} \bar{q}^j(\tau, \vec{r}) \bar{q}^k(T, \vec{r}) U[(T, \vec{r}), (T, \vec{r}); C]_{kl} q^l(T, \vec{r}) | 0 \rangle$$

(i, j, k, l : indices dans la représentation D , i.e. 3 et 3)

Supposons que les champs de quarks ne sont pas dynamiques : ceci est le cas pour des quarks lourds. On peut alors les traiter comme des termes de source. Cette limite est appelée limite eskouale.

On a alors

$$\langle 0 | \bar{q}^i(x') \bar{q}^k(x) | 0 \rangle = \left[P \exp g \int_{x(CS)=x}^{x(CS)=x'} A_\mu(x(CS)) dx^\mu \right]_{jj'} \underbrace{\langle 0 | \bar{q}^j(x') \bar{q}^k(x) | 0 \rangle}_{\text{terme de source}}$$

(voir G. Sterman "An introduction to QFT" p 390-391, en particulier eq. (18-57)). Voir aussi A. Shuvayev et S. Wallon Eur. Phys. J. C46 (2006) 135)

notre que la nature spinorelle de la source ne joue aucun rôle ici. La structure du résultat serait identique pour une particule de spin quelconque (scalaire, vectoriel, etc.)

$$\text{donc } \langle 0 | \bar{q}^j(0, \vec{r}) \bar{q}^k(T, \vec{r}) | 0 \rangle \sim U[(0, \vec{r}), (T, \vec{r}); C]_{jj'} \delta^{jk} e^{-mT} \xrightarrow{k \rightarrow j}$$

$$\langle 0 | \bar{q}^i(0, \vec{r}) \bar{q}^l(T, \vec{r}) | 0 \rangle = - \langle 0 | \bar{q}^l(T, \vec{r}) \bar{q}^i(0, \vec{r}) | 0 \rangle \sim -U[(T, \vec{r}), (0, \vec{r}); C]_{li} \times e^{-mT}$$

auto-commutation

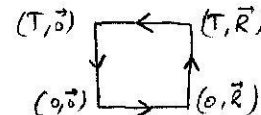
$$\text{d'où } \mathcal{R}(T, R) \sim - \langle 0 | U[(0, \vec{r}), (0, \vec{r})]_{ij} U[(0, \vec{r}), (T, \vec{r})]_{jk} U[(T, \vec{r}), (T, \vec{r})]_{kl} U[(T, \vec{r}), (0, \vec{r})]_{li} | 0 \rangle e^{-mT}$$

$$\text{Soit } \mathcal{R}(T, R) \sim e^{-mT} W(C) \quad W(C) = \langle 0 | T \Gamma U[x, x, C] | 0 \rangle$$

$$\text{et } (\lim_{T \rightarrow \infty} W(C) \sim e^{-T[E(R) - m]})$$

s'agit

$$E(R) - m = - \lim_{T \rightarrow \infty} \frac{\ln W(C)}{T}$$



Théorème de Gelfand sur réseau

I. Partant de $\int \frac{dr(s)}{r(G)} D_{\alpha_B}(s) D_{\alpha_{B'}}^{(\sigma)*}(s) = \frac{1}{m} \delta_{\sigma\sigma} \delta_{\alpha_B} \delta_{\alpha_{B'}}$,

$$\text{qui devient encore } \int \frac{dr(s)}{r(G)} D_{\alpha_B}(s) D_{\alpha'_{B'}}^{(\sigma)}(s') = \frac{1}{m} \delta_{\sigma\sigma} \delta_{\alpha_B} \delta_{\alpha'_{B'}},$$

$$\text{on a donc } \frac{1}{m} \delta_{\sigma\sigma} \delta_{\alpha_B} \delta_{\alpha'_{B'}} = \int \frac{dr(s)}{r(G)} \sum_{\alpha_1, B_1} D_{\alpha_B}^{(\sigma)}(s) D_{\alpha'_{B'}}^{(\sigma)}(s') D_{\alpha_1}^{(\sigma)}(s' s_1) D_{\alpha_1}^{(\sigma)}(s_1)$$

En multipliant par $D_{\alpha'_{B_1}}^{(\sigma)}(s_1) D_{\alpha_{B_1}}^{(\sigma)}(s_2)$ et en sommant sur B_1 et σ , on a

$$\int \frac{dr(s)}{r(G)} \sum_{\alpha_1, B_1} D_{\alpha_B}^{(\sigma)}(s s_1) \delta_{B_1, B_2} \delta_{\alpha_1, \alpha_2} D_{\alpha'_{B_2}}^{(\sigma)}(s' s_2) = D_{\alpha'_{B_2}}^{(\sigma)}(s_1) D_{\alpha_{B_2}}^{(\sigma)}(s_2) \frac{\delta_{\sigma\sigma}}{m}$$

$$\text{i.e. } \int \frac{dr(s)}{r(G)} D_{\alpha_B}(s s_1) D_{\alpha'_{B_2}}^{(\sigma)}(s' s_2) = D_{\alpha'_{B_2}}^{(\sigma)}(s_1) D_{\alpha_{B_2}}^{(\sigma)}(s_2) \frac{\delta_{\sigma\sigma}}{m} \quad (\alpha)$$

* faissons $\sigma = \tau$, $B_2 = B_\nu$, $\alpha = \alpha_\nu$ et sommes sur α_1 et B_1 . Alors

$$\begin{aligned} \int \frac{d\mu(s)}{r(G)} & \underbrace{D_{\alpha_B}(s s_1) D_{\alpha_B}^{(\tau)}(s' s_2)}_{= \sum_{\alpha_1} D_{\alpha_{B_1}}^{(\tau)}(s s_1, s' s_2)} = \frac{1}{m} X(s_1) X(s_2) \\ & = \sum_{\alpha_1} D_{\alpha_{B_1}}^{(\tau)}(s s_1, s' s_2) \end{aligned}$$

$$\int \frac{d\mu(s)}{r(G)} X^{(\tau)}(s s_1, s' s_2) = \frac{1}{m} X(s_1) X(s_2)$$

* dans (a), faisons $B_2 = \kappa$ et sommes sur κ . Alors

$$\int \frac{dr(s)}{r(G)} \sum_{\alpha_1} D_{\alpha_{B_1}}^{(\tau)}(s s_1) D_{\alpha'_{B_2}}^{(\sigma)}(s' s_2) = D_{\alpha'_{B_2}}^{(\sigma)}(s_1, s_2) \frac{\delta_{\sigma\sigma}}{m}$$

puis $\alpha_1 = B'$ et sommation sur α_1 donne

$$\int \frac{d\mu(s)}{r(G)} X^{(\tau)}(s s_1) X^{(\sigma)}(s' s_2) = X(s_1, s_2) \frac{\delta_{\sigma\sigma}}{m}$$

G est compact, donc toute représentation de G est équivalente à une représentation unitaire.

Donc $D(s^{-1}) = D^*(s)$ d'où $X^{(\tau)}(s) = [X^{(\tau)}(s)]^*$ (car $\text{tr } D(s) = \text{tr } {}^t D(s)$)

$$D^{(\bar{\tau})}(s) = [D^{(\tau)}(s)]^* \text{ donc } X^{(\bar{\tau})}(s) = [X^{(\tau)}(s)]^* \quad \text{i.e. } X^{(\bar{\tau})(s^{-1})} = X^{(\bar{\tau})}(s) = [X^{(\tau)}(s)]^*$$

II - a) D'après le théorème de Peter-Weyl, toute fonction de classe continue peut se décomposer sur la base des caractères irréductibles :

$$e^{\beta X(s)} = \sum_e m_e b_e X^{(e)*}(s)$$

$$\int \frac{dr(g)}{v(G)} e^{\beta X(s)} X^{(e)*}(s) = \int \frac{dr(g)}{v(G)} \sum_{\sigma} b_{\sigma} X^{(\sigma)}(s) X^{(e)*}(s) = m_e b_e$$

d'où $b_e(\beta) = \frac{1}{m_e} \int \frac{dr(g)}{v(G)} e^{\beta X(s)} X^{(e)*}(s)$

b) $e^{\beta X(s)} = \sum_{m=0}^{\infty} \frac{\beta^m}{m!} X(s)^m$

(*) apparaît dans $(*)^{\otimes m}$ (\Rightarrow la multiplicité $\int \frac{dr(g)}{v(G)} X(s)^m X^{(e)*}(s)$ est non nulle, et positive).

Il faut et il suffit donc que l'une de ces multiplicités soit non nulle pour que $b_e(\beta) \neq 0$.

c) Toute représentation irréductible de $SO(2)$ s'obtient par produit tensoriel de la représentation $(\frac{1}{2})$.

La condition b) est alors satisfaitte pour $r = (j = \frac{1}{2})$.

En revanche pour $r = (j=n)$, toutes les représentations de spin demi-entier ne peuvent être obtenues par produit tensoriel de représentations $j=1$, donc $b_{\frac{n+1}{2}} = 0, \forall p \in \mathbb{N}$.

d) $(3 \oplus \bar{3})^m$ pour m arbitraire permet d'engendrer toutes les représentations irréductibles de $SU(3)$.

D'où l'on déduit d'après b) que $b_e \neq 0 \quad \forall e$.

$$\text{Si } \beta \rightarrow 0, \quad e^{\beta X(s)} \rightarrow 1$$

Tous les b_e tendent vers 0

$$b_e(\beta) \sim \frac{1}{m_e} \int \frac{dr(g)}{v(G)} X^{(e)}(s) \left[1 + \beta(X^{(2)} + X^{(3)}) + \frac{1}{2} \beta^2 \left((X^{(2)})^{\otimes 2} + (X^{(3)})^{\otimes 2} + 2 \underbrace{X^{(2)} \otimes X^{(3)}}_0 \right) + \dots \right]$$

$$\sim \frac{\beta^2}{m_e}$$

Dans le cas où e est la représentation de plus haut poids $\Lambda = (\lambda^1, \lambda^2)$, $b_e \propto \beta^{\lambda^1 + \lambda^2}$

III - a) $\mathcal{J}_P = \mathcal{J}_{ij} \mathcal{J}_{jk} \mathcal{J}_{ki}$ se décomposent, sous la transformation de jauge:

$$\mathcal{J}'_P = \mathcal{J}_{ij} \mathcal{J}_{ik} \mathcal{J}_{kj}^{-1} \mathcal{J}_{ij} \mathcal{J}_{jk} \mathcal{J}_{ki} \mathcal{J}_{se}^{-1} \mathcal{J}_{le} \mathcal{J}_{de}^{-1}$$

$$= \mathcal{J}_{ij} \mathcal{J}_{ik} \mathcal{J}_{jk} \mathcal{J}_{le} \mathcal{J}_{de} \mathcal{J}_{se}^{-1} = \mathcal{J}_{ij} \mathcal{J}'_P \mathcal{J}_{se}^{-1}$$

Or $X(\mathcal{J}'_P) = X(\mathcal{J}_{ij} \mathcal{J}'_P \mathcal{J}_{se}^{-1}) = X(\mathcal{J}_P)$, d'où l'invariance de E .

Sous chaque l'orientation des plaquettes, $\mathcal{J}_P = \mathcal{J}_{ij} \mathcal{J}_{ik} \mathcal{J}_{jk}$ se décomposent

$$\leftarrow \mathcal{J}_{ij} \mathcal{J}_{ik} \mathcal{J}_{jk} \mathcal{J}_{se}^{-1} = \mathcal{J}_{ij} \mathcal{J}_{ke}^{-1} \mathcal{J}_{jk}^{-1} \mathcal{J}_{ij}^{-1} = [\mathcal{J}_{ij} \mathcal{J}_{jk} \mathcal{J}_{le} \mathcal{J}_{se}]^{-1} = \mathcal{J}_P^{-1}, \text{ or } X(\mathcal{J}'_P) = [X^{(e)}(\mathcal{J}_P)]^*$$

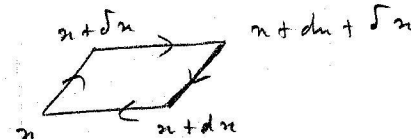
$$= X^{(e)}(\mathcal{J}_P)$$

(e est réel)

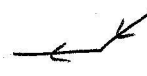
E est donc invariante par changement d'orientation des plaquettes.

c) On rappelle que $e^{\lambda A} e^{\lambda B} = e^{\lambda(A+B) + \frac{\lambda^2}{2}[A, B]} + O(\lambda^3)$

Donc pour le parallélogramme:



on a, en notant $P(n; n) = P \exp \int_n^{n+dn} A_r dm^r$



$$\begin{aligned} & P(n, n+dn) P(n+dn, n+dn+\delta n) \\ &= P \exp(-A_r(n) dm^r) P \exp(-A_v(n+dn) \delta n^v) \\ &= \exp \left[-A_r dm^r - A_v \delta n^v - \partial_r A_v dm^r \delta n^v + \frac{1}{2} [A_r, A_v] dm^r \delta n^v \right] \end{aligned}$$

et $P(n+dn+\delta n, n+\delta n) P(n+\delta n, n)$



$$= P \exp \left[+ A_r(n+\delta n) dm^r \right] P \exp \left[+ A_v(n) \delta n^v \right]$$

$$= \exp \left[+ A_r dm^r + A_v \delta n^v + \partial_v A_r dm^r \delta n^v + \frac{1}{2} [A_r, A_v] dm^r \delta n^v \right]$$

d'où $P \overset{\leftrightarrow}{=} \exp \left[-\partial_r A_v + \partial_v A_r + [A_r, A_v] dm^r \delta n^v \right]$

(car $A_r dm^r + A_v dm^v$ commute avec lui-même,
donc pas d'autre correction quadratique)

$$= \exp \left[-F_{rv} \underbrace{dm^r \delta n^v}_{\sigma^{rv}} \right] = \exp \left[F_{rv} \sigma^{rv} \right]$$

Rem: $F_{\mu\nu} = T_{\alpha} F_{\alpha\nu}^{\alpha}$ est l'analogie du tenseur de courbure $R_{\mu\nu}^{\alpha\beta}$ en géométrie courbée

$\Psi_i(n)$ subit une variation par transport // $P \rightarrow$

versus: V_P subit un changement par transport

$$\Delta \Psi_i(x) = T_{\alpha ij} F_{\alpha\nu}^{\alpha} \Psi_j(n) \sigma^{\nu\alpha}$$

$$\text{parallèle } \Delta V_P = R_{\mu\nu}^{\alpha\beta} V_{\nu} \sigma^{\mu\beta}$$

$$\text{donc on } S_p = \exp[a^L F_{\mu\nu} + O(a^4)]$$

On rappelle que $\text{tr } d_\lambda(t_a) d_\lambda(t_b) = -T_\lambda \delta_{ab}$

$$\text{avec } T_\lambda = C_2(\Lambda) \frac{\dim \Lambda}{\dim g}$$

Casimir de la représentation du plus haut poids Λ

$$T_f = +\frac{1}{2} \quad \text{conventionnellement}$$

$$\text{Pour } SU(N), \quad T_\Lambda = +N$$

$$E_p = -\mathcal{D}(S_p) \sim -\text{Tr} \exp[a^L F_{\mu\nu}] = -\text{Tr} [1 + a^L F_{\mu\nu} + \frac{a^4}{2!} (F_{\mu\nu})^2 + O(a^6)]$$

Comme $\text{Tr } T^2 = 0$, le terme linéaire disparaît.

$$\text{Donc } E_p \sim -\dim \Lambda + \frac{a^4}{2!} C_2(\Lambda) \frac{\dim \Lambda}{\dim g} \sum (F_{\mu\nu})^2$$

$$\text{car } F_{\mu\nu}^2 = T_\Lambda^a T_\Lambda^b F_{\mu}^a F_{\nu}^b \quad \text{et } \text{tr } T_\Lambda^a T_\Lambda^b = -C_2(\Lambda) \frac{\dim \Lambda}{\dim g} \delta^{ab}$$

$$\text{pour } SU(N) \text{ et } X = X_N + X_{\bar{N}},$$

$$E_p \sim \left(-N + \frac{a^4}{2!} F_{\mu\nu}^a F_{\mu\nu}^a \right) \delta_{N \bar{N}}$$

$$\text{Pour la théorie de jauge continue, } e^{i \int d^4x L} = e^{i \int d^4x \frac{1}{2g^2} \text{tr } F_{\mu\nu} F^{\mu\nu}}$$

devient $e^{+\frac{1}{2g^2} \int d^4x \text{tr } F_{\mu\nu} F^{\mu\nu}}$ après passage dans l'euklidien ($x^\theta = i x^\mu$ i.e. $x^\theta = -i x^\mu_E$)

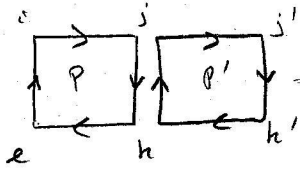
$$\text{I.e., on a } e^{-B \sum_p E_p} \sim e^{+\frac{B}{2} \sum_p \text{tr} (F_{\mu\nu})^2 a^4}$$

$$\text{donc } B = +\frac{1}{g^2}$$

d) g_p est un élément de G . Donc le résultat de II s'applique, et

$$e^{B\chi(g_p)} = \sum_e m_e b_e \chi^{(e)}(g_p).$$

c) assemblage de plaquettes:



$$P: \chi(g_{0j} g_{jk} g_{kl} g_{li})$$

$$P': \chi(g_{jj'} g_{j'h} g_{kh} g_{k'h'})$$

$$\int \frac{dr(s_{jh})}{v(\sigma)} \chi^{(e)}(s_{jh} s_{hk} g_{kl} g_{li}) \chi^{(\sigma)}(s_{jh}^{-1} s_{jj'} s_{kh} s_{kh'}) = \frac{s_{e,\sigma}}{m_e} \chi^{(e)}(s_{ee'})$$

$$\text{avec } s_{ee'} = s_{hk} s_{kh} s_{jj'} g_{jj'} g_{j'h} s_{kh'}$$

d'après (b-e)

pour une plaque:

$$\int \frac{dr(s_{12})}{v(\sigma)} \frac{dr(s_{23})}{v(\sigma)} \frac{dr(s_{34})}{v(\sigma)} \frac{dr(s_{41})}{v(\sigma)} \chi^{(e)}(s_{12} s_{23} s_{34} s_{41}) = \delta_{e1}$$

car on peut faire le changement de variable $s_{41} \rightarrow s_{12} s_{23} s_{34} s_{41} s'$

$$\text{et utiliser } \int \frac{dr(s')}{v(\sigma)} \chi^{(e)}(s') = \delta_{e1}.$$

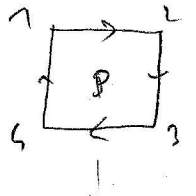
$m_e=1$ donc pour 8 plaquettes:

$$\begin{aligned} \sum_{e,\sigma} \int \frac{dr(s_{jh})}{v(\sigma)} m_e b_e \chi^{(e)}(s_{jh}) \delta_{e,\sigma} \chi^{(\sigma)}(s_{e1}) &= \sum_e b_e^L \frac{m_e}{m_e} \delta_{e,\sigma} \chi^{(e)}(s_{ee'}) \\ &= \sum_e b_e^L m_e \chi^{(e)}(s_{ee'}) \end{aligned}$$

On s'est donc ramené au calcul sur une plaque pure, ce qui conduit à b_e^L (car $m_e=1$)

Au total, pour une plaque d'aire N , on a $Z = b_e^N$

Sur C:



$$\int \frac{dr(g_e)}{\sigma(e)}$$

$$\underbrace{x^{(e)}(g_p)}_{=x^{(e)}(g_p^{-1})}$$

$$\sum_e b_e x^{(e)}(g_p)$$

=

$$g_p = g_{12} g_{43} g_{34} g_{41}$$

$$g_p^{-1} = g_{41}^{-1} g_{34}^{-1} g_{23}^{-1} g_{12}^{-1}$$

$$\int \frac{dr(g_p)}{\sigma(e)} x^{(e)}(g_{41}^{-1} g_{34}^{-1} g_{23}^{-1} g_{12}^{-1}) \sum_e x^{(e)}(g_{41}, g_{12} g_{43} g_{23}) m_e b_e = \sum_e \underbrace{m_e b_e}_{\text{me}} x^{(e)}(g_{34}^{-1} g_{23}^{-1} g_{12}^{-1})$$

$g_{12} g_{43} g_{34}$ mebe

$$= b_\sigma \underbrace{x^{(e)}(e)}_{=b_e m_e} = b_\sigma m_\sigma$$

plus simple: $x^{(e)}(g) = x^{(e)}(g)$ car g et g^{-1} sont inverses. On peut donc utiliser (3.ii) directement.

$$Z = b, \quad \text{donc } W^{(\sigma)}(e) = \frac{1}{b} m_\sigma b_\sigma \quad \underline{\text{OK}}$$

raisons: b_σ a précisément une g_p remplacé par le produit des g_e de long de C. On a

$$x^{(e)}(g_p) = x^{(e)}(e) \rightarrow \text{invariante.}$$

↓
o

donc: $W^{(\sigma)}(e) = \frac{1}{b_1^A} m_\sigma b_\sigma^A = m_\sigma \left(\frac{b_\sigma}{b_1}\right)^A$

i j k l
e

$\int \frac{dr(g_e)}{\sigma(e)} b_e m_e x^{(e)}(g_p) x^{(e)}(g_p') \sum_e m_e b_e x^{(e)}(g_p')$

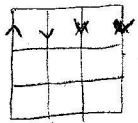
on utilise la relation $g_p g_p' \rightarrow b_\sigma m_\sigma$ pour échasser

peut alors écrire en les termes de g $\Rightarrow b_i^{N-A}$

$$\text{Or } Z = b_1^N$$

$$\text{donc } W = m_\sigma \left(\frac{b_\sigma}{b_1}\right)^A$$

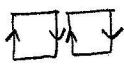
d)



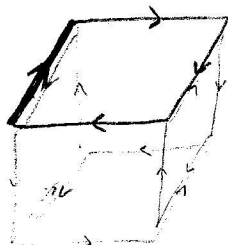
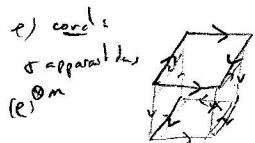
$$\int_{\text{sur un}} \rightarrow b_e \text{ en } x^{(e)}_{(\text{sep})}$$

$\int_{\text{long de gr}} \rightarrow b_e$ (le fait que le bord soit lisse ou pas donne rien)

Si!

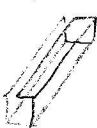


$$Z = \sum_e (b_e)^N$$

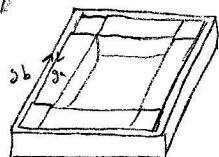


$$B x^{(e)}$$

Pour compléter les notations, on note $x^{(8)}$ une rep. apparaissant dans la dim. de e

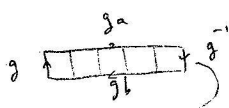


$$m_8 b_8^{mp} x^{(8)}_{(\text{sp})} \text{ après intégration sur les faces intérieures}$$



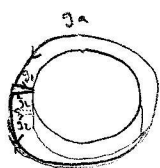
$$x^{(8)}_{(g_a)} x^{(8)}_{(g_b)} b_8^{mp}$$

car:



$$\text{ruban: } m_8 b_8^{mp} x^{(8)}_{(\text{sp})}$$

$$\text{on forme le ruban: } m_8 b_8^{mp} \int \frac{d\rho(s)}{V(G)} x^{(8)}(s g_a s^{-1} g_b) = \frac{m_8 b_8^{mp}}{m_8} x(g_a) x(g_b)$$



$$\int \frac{d\rho(s)}{V(G)} x(g_a g_1 g_1^{-1}) x(g_b g_2 g_2^{-1}) = x(g_a) x(g_b)$$

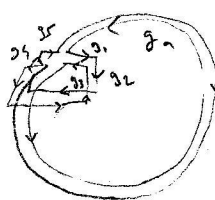
T_{haft}T_{bar}

(g au centre
de l'anneau vu du
haut)

Naturellement, on peut former le tore:

$$\int \frac{d\rho(s)}{V(G)} x^{(8)}(g_a) x^{(8)}(g_b^{-1}) x^{(8)}(g_c)$$

$$\frac{d\rho(s_1)}{V(G)} \frac{d\rho(s_2)}{V(G)} \frac{d\rho(s_3)}{V(G)} \frac{d\rho(s_4)}{V(G)} \frac{d\rho(s_5)}{V(G)} \frac{d\rho(s_6)}{V(G)}$$



$$x^{(8)}(g_a^{-1} g_b^{-1} g_c^{-1} g_d^{-1} g_e^{-1} g_f^{-1} g_a g_b g_c g_d g_e g_f) \cdot x^{(8)}(g_a^{-1}) m_8 b_8^{mp}$$

$$= x^{(8)}(g_a^{-1} g_b^{-1} g_c^{-1} g_d^{-1}) x^{(8)}(g_a^{-1}) m_8 b_8^{mp} \text{ par changement d'ordre}$$

$$\int \frac{d\rho(s)}{V(G)} x^{(8)}(s^{-1} g_a^{-1} g_b^{-1} g_c^{-1} g_d^{-1}) x^{(8)}(g_d^{-1}) \frac{d\rho(s)}{V(G)} = b_7^{mp} \frac{d\rho(s_a)}{V(G)} x^{(8)}(g_a) x^{(8)}(g_b^{-1}) x^{(8)}(g_c^{-1}) x^{(8)}(g_d^{-1}) = x^{(8)}(g_a)$$

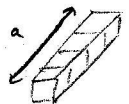
8

$$\underline{\text{Conf}} \quad (3) \quad \text{disque} \quad W^{(o)}(C_0) = m\sigma \left(\frac{b\sigma}{b_1}\right)^{RT} = m\sigma e^{RT \ln \frac{b\sigma}{b_1}}$$

$$\text{donc } V(R) = \lim_{T \rightarrow 0} \frac{1}{T} \ln W^{(o)}(C_T) = -R \ln \frac{b\sigma}{b_1} \xrightarrow[b_1 \rightarrow 0]{\sigma \rightarrow 0} > 0 \quad \text{continuité}$$

$$(3e) \quad \text{tore} \quad W^{(o)}(C_T) \sim \left(\frac{b\sigma}{b_1}\right)^{mp}$$

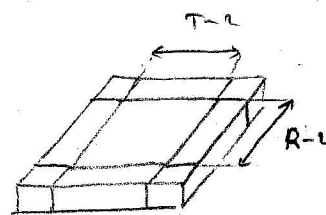
$$m_p = ?$$



$$\# \text{ de plaquettes du tube} = 4a$$

Donc pour le tore:

$$2 \cdot 4(R-2) + 2 \cdot 4(T-2) + 6 \cdot 4 \quad \uparrow \text{coins} \\ = 8R + 8T - 16$$



$$\text{D'où } V_{\text{Tore}}(R) = - \lim_{T \rightarrow 0} \frac{1}{T} \ln W^{(o)}(C_T) = \lim_{T \rightarrow 0} -\frac{1}{T} \cdot 8(R+T-2) \ln \frac{b\sigma}{b_1} = -8 \ln \frac{b\sigma}{b_1}$$

Dans cette situation, la force de rappel entre les deux particules tend vers 0: liberté asymptotique.